

بررسی تاثیر آهن و منگنز بر خواص مکانیکی و سایشی (F332) آلیاژ Al-Si

اکبر اسحاقی و حمید رضا قاسمی منفرد راد

دانشکده مهندسی متالورژی و مواد، پردیس دانشکده های فنی، دانشگاه تهران

رضا تقی آبادی

دانشکده مواد، دانشگاه بین المللی امام خمینی(ره) قزوین

(دربافت مقاله: ۸۷/۶/۲۷ - پذیرش مقاله: ۸۹/۹/۸)

چکیده

در این تحقیق تاثیر آهن و منگنز بر رفتار سایشی آلیاژ F332 مورد بررسی قرار گرفته است. بدین منظور مقادیر مختلف آهن شامل ۰/۷، ۱/۲ و ۱/۸ درصد به ترکیب آلیاژ پایه افزوده گردید و بهسازی آلیاژها از طریق افزودن مقادیر مناسب منگنز به ترکیب آلیاژها صورت پذیرفت. آزمایش‌های سایش در دمای محیط، تحت چهار بار اعمالی ۲۰، ۳۰، ۴۰ و ۸۰ N و مسافت لغزش ۱۰۰۰ m در سرعت ۰/۵ m/s انجام شدند. نتایج نشان می‌دهد که تاثیر ترکیبات غنی از آهن بر خواص تربیولوژیکی به ابعاد، مورفولوژی و نحوه توزیع این ذرات در زمینه آلیاژ وابسته است. در شرایط بهسازی نشده بهترین خواص تربیولوژیکی و مکانیکی در آلیاژ حاوی ۰/۷ درصد آهن مشاهده می‌شود و افزودن مقادیر بیشتر آهن موجب شکل گیری ترکیبات درشت صفحه‌ای شکل در زمینه و افت قابل ملاحظه مقاومت سایشی می‌شود. این در حالی است که پس از بهسازی آلیاژ توسط منگنز خواص تربیولوژیکی آلیاژ به میزان قابل توجهی بهبود یافته و بهترین خواص سایشی در آلیاژ حاوی ۱/۸ درصد آهن مشاهده می‌شود.

واژه‌های کلیدی: آلیاژ F332 آلومینیم-سیلیسیم، ترکیبات غنی از آهن، خواص مکانیکی، سایش.

Effect of iron and manganese on the mechanical and the tribological properties of F332 Al-Si alloys

A. Eshaghi and H. M. Ghasemi

Materials Engineering, University College of Engineering, University of Tehran

R. Taghiabadi

Faculty of Engineering and Technology, Imam Khomeini International University, Qazvin

Abstract

In the present study, the effects of iron and manganese on the tribological behavior of F332 alloy were investigated. Alloys with addition of 0.7, 1.2 and 1.8wt% iron to the base alloy were prepared. The modification of the alloys was performed by proper additions of manganese. The pin-on-disk wear tests were carried out at room temperature under normal loads of 20, 30, 40, and 80 N, and sliding speed of 0.5 m/s for sliding distance of 1000m. The results showed that the size and morphology of the iron-rich compounds greatly influenced the tribological behavior of the alloy. In the case of un-modified alloys, the alloy containing 0.7wt% Fe, showed the best tribological and mechanical properties. Addition of higher amounts of Fe led to the formation of coarse, plate-like intermetallic compounds and, therefore, a considerable decrease in the wear resistance. The modification by manganese improved the tribological properties of the alloys and the highest wear resistance was obtained with the alloy containing 1.8 wt% Fe.

Keywords: F332 Al-Si Alloy, Iron Rich Intermetallics, Mechanical Properties, Wear.

E-mail of corresponding author: hghasemi@ut.ac.ir, akbareshaghi@yahoo.com

مقدمه

بین فلزی غنی از آهن بر خواص این آلیاژها اعم از خواص فیزیکی و مکانیکی، قابلیت ریخته‌گری و انجام شده است. با این حال با وجود اهمیت موضوع، تاکنون هیچ مطالعه سیستماتیکی در زمینه تاثیر این ترکیبات بر رفتار سایشی آلیاژهای Al-Si صورت نپذیرفته است. بر این اساس در این تحقیق تاثیر ترکیبات بین فلزی غنی از آهن بر رفتار سایش لغزشی آلیاژ F332 به عنوان یکی از مهمترین آلیاژهای هیپویوتکتیک Al-Si مورد استفاده در کاربردهای سایشی، مورد مطالعه و بررسی قرار گرفته است.

مواد و روش آزمایش ها

ترکیب شیمیایی و کد مورد استفاده جهت شناسایی آلیاژ پایه و سایر آلیاژهای تهیه شده در این تحقیق، در جدول (۱) ارایه شده است. عملیات ذوب آلیاژها در یک بوته گرافیتی و با استفاده از یک کوره مقاومتی انجام گردید. پس از ذوب مواد شارژ و ثبیت دمای مذاب در حدود 750°C ، عناصر آلیاژی مورد نظر شامل آهن و منگنز به مذاب افزوده گردیدند. افزودن آهن و منگنز به مذاب با بهره‌گیری از قرصهای ALTABTM محتوی ۱۵ درصد پودر آلومینیم، ۱۰ درصد فلاکس بدون سدیم عاری از رطوبت و بقیه پودر آهن یا منگنز انجام گردید تا ترکیبات ارایه شده در جدول (۱) به دست آیند. در ادامه به منظور انحلال کامل مواد افزودنی و یکنواخت شدن ترکیب شیمیایی، دمای مذاب تحت پوشش فلاکس محافظ (کاورال ۱۱) تا 800°C افزایش داده شده و به مدت ۱۵ دقیقه در آن دما نگاه داشته شد. پس از آن کوره خاموش گردید تا دمای مذاب تا 750°C درجه سانتیگراد کاهش یابد. در ادامه پس از گاز زدایی مذاب با استفاده از قرصهای گاز زدای جامد Foseco ۶۰۰ و سرباره‌گیری، مذاب به آرامی هم زده شد و در نهایت در دمای $5^{\circ}\text{C} \pm 720^{\circ}\text{C}$ عملیات بارگیری در یک قالب چدنی پیشگرم شده تا 250°C (سرعت انجام متوسط حدود 3°C/sec) صورت پذیرفت. پس از تکمیل انجام، نمونه‌های مورد نیاز شامل نمونه‌های مربوط به بررسی‌های متالوگرافی، بررسی خواص کششی، سختی سنجی و پین‌های سایش از قطعه اصلی تهیه شدند.

آلیاژهای هیپویوتکتیک Al-Si-Cu-Ni به دلیل برخورداری از سیالیت و قابلیت ریخته‌گری عالی، استحکام در دمای بالا و خواص تریبولوژیکی مناسب، ضریب انساط حرارتی کم و پایداری ابعادی، برای تولید پیستون موتورهای احتراق داخلی مورد استفاده قرار می‌گیرند [۱]. مهمترین رسوبات غنی از آهن در آلیاژهای هیپویوتکتیک Si Al-Si شامل فاز بتا $(\beta-\text{Al}_5\text{FeSi})$ با مورفولوژی صفحه‌ای / سوزنی شکل و فاز آلفا (α -Al₁₅Fe₃Si₂) با مورفولوژی حروف چینی هستند [۲]. مورفولوژی این فازها اثر تعیین کننده ای بر خواص مکانیکی آلیاژ داشته و در صورت شکل گیری فاز بتا با مورفولوژی صفحه‌ای، خواص مکانیکی به ویژه انعطاف پذیری و چقرمگی آلیاژ به میزان قابل توجهی افت می‌نماید [۳]. با این حال با توجه به نقش مثبت ترکیبات غنی از آهن در افزایش سختی و پایداری ابعادی، بهبود استحکام دمای بالا و نیز افزایش مقاومت به پارگی گرم [۴]، می‌توان حد مجاز آهن بالاتری در آلیاژهای پیستون در نظر گرفت. تحت این شرایط شکل گیری رسوبات غنی از آهن اجتناب ناپذیر بوده و ضروری است که با بهره‌گیری از روش‌های مناسب، مورفولوژی، ابعاد و نحوه توزیع رسوبات غنی از آهن در راستای بهبود خواص کنترل گردد.

یکی از روش‌های مناسب جهت کنترل اثرات مخرب ترکیبات غنی از آهن صفحه‌ای شکل، بهره‌گیری از عناصر تصحیح کننده اثر آهن مانند منگنز است [۵]. در حضور مقادیر مناسب از این عنصر، رسوبات Al₁₅(Fe,Mn)₃Si₂ با مورفولوژی حروف چینی جایگزین فاز بتای مخرب با مورفولوژی صفحه‌ای گشته و موجب بهبود استحکام، نرمی و انعطاف پذیری آلیاژ می‌شود [۵]. با این حال در صورت افزایش مقدار آهن و منگنز موجود در ترکیب آلیاژ، احتمال شکل گیری رسوبات درشت اولیه، در ساختار افزایش می‌یابد. تاثیر منفی شکل گیری این رسوبات بر نرمی و انعطاف پذیری آلیاژ به مراتب کمتر از تاثیر منفی رسوبات صفحه‌ای شکل است [۶]. نظر به اهمیت صنعتی آلیاژهای Al-Si تاکنون مطالعات گسترده ای در زمینه تاثیر ترکیبات

جدول ۱. ترکیب شیمیایی آلیاژ پایه و سایر آلیاژهای مورد استفاده در این تحقیق

کد آلیاژ	Si	Cu	Fe	Mg	Ni	Mn	Zn	Al
پایه	۹/۴۴	۰/۱۵	۲/۵	۱/۰۱	۰/۰۱<	۰/۵	۰/۱۳	باقیمانده
Fe۰/۷	۹/۴۷	۰/۶۷	۲/۳۲	۰/۷۹	۰/۰۱<	۰/۵	۰/۱۵	باقیمانده
Fe۱/۲	۹/۸۳	۱/۲۲	۲/۵۵	۰/۹۱	۰/۰۱<	۰/۵۶	۰/۱۴	باقیمانده
Fe۱/۸	۹/۶۷	۱/۷۸	۲/۲۷	۰/۷۹	۰/۰۱<	۰/۵۱	۰/۱۵	باقیمانده
FeMn۰/۷	۹/۴۵	۰/۶۴	۲/۳۸	۰/۱۸	۰/۰۱<	۰/۵۱	۰/۱۵	باقیمانده
FeMn۱/۲	۹/۵۴	۱/۲۸	۲/۳۵	۰/۶۱	۰/۰۶	۰/۱۴	۰/۱۴	باقیمانده
FeMn۱/۸	۹/۵۵	۱/۷۲	۲/۶	۰/۷۷	۰/۰۸۷	۰/۵۵	۰/۱۴	باقیمانده

نتایج و بحث

بررسی تاثیر ترکیبات غنی از آهن بر ریزساختار و خواص مکانیکی ساختار میکروسکپی آلیاژ پایه و آلیاژهای حاوی ۰/۷ و ۱/۲ درصد آهن در شکل ۱ ارایه شده است. همانگونه که مشاهده می شود افزودن آهن به آلیاژ پایه موجب پیدایش رسوباتی سوزنی شکل در زمینه می گردد. بر اساس نتایج حاصل از آنالیز عنصری EDS، ذرات سوزنی شکل موجود در ساختار حاوی ۱۶/۶۵ درصد اتمی آهن، ۱۵/۷۴ درصد اتمی سیلیسیم و ۶۷/۶۱ درصد اتمی آلومینیم بوده و می توان گفت که این ذرات در واقع رسوبات بتا با فرمول شیمیایی تقریبی $\beta\text{-Al}_5\text{FeSi}$ هستند. با توجه به شکل ۱ در صورت افزایش میزان آهن، کسر حجمی و طول متوسط صفحات بتا نمونه ها که در جدول ۲ ارایه شده است نیز موید این مطلب می باشد. با توجه به این نتایج، ذرات بتا را می توان به دو دسته ذرات ریز و بین دندانیتی (مانند ذرات موجود در ریزساختار آلیاژ ۰/۷Fe) و ذرات درشت (مانند ذرات موجود در ریزساختار آلیاژ ۱/۸Fe) تقسیم نمود.

در یک سرعت انجماد معین، شکل گیری هر یک از این ذرات به غلظت آهن و سیلیسیم بستگی دارد [۷]. گوشه غنی از آلومینیم دیاگرام سه تایی Al-Fe-Si در شکل ۲ ارایه گشته و ترکیب شیمیایی آلیاژ F۲۳۲ مورد استفاده در این

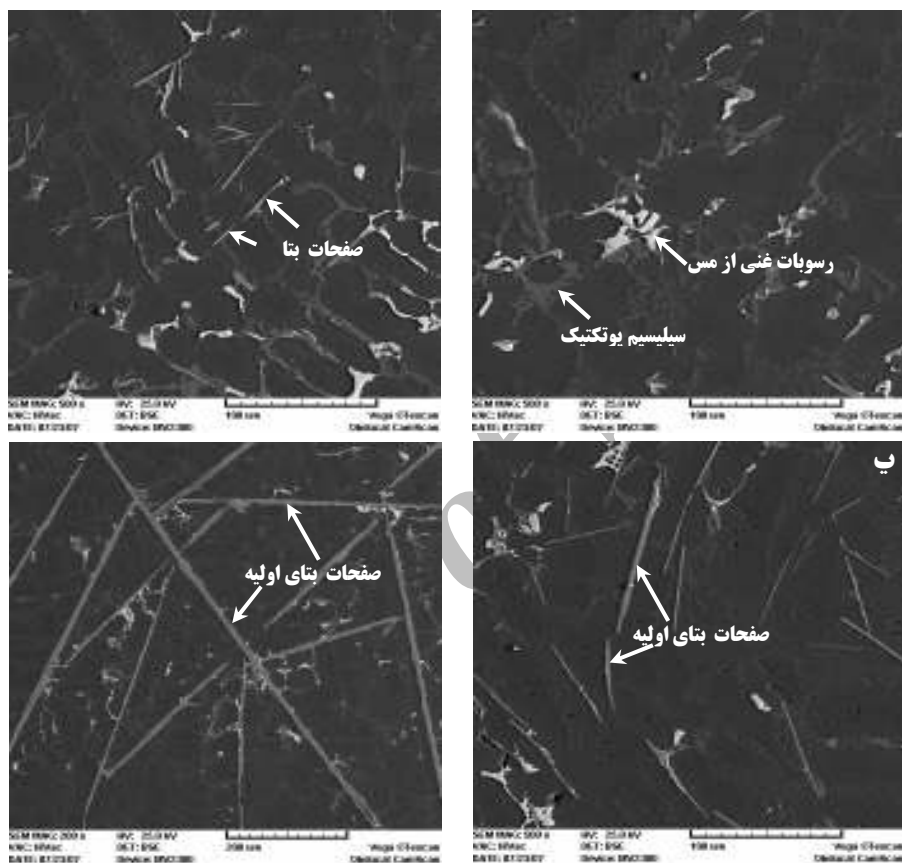
پس از آماده سازی سطحی و حکاکی سطح نمونه ها با استفاده از محلول حکاکی HF ۰/۵٪، تاثیر ترکیب شیمیایی بر ساختار میکروسکپی آلیاژ با بهره گیری از یک میکروسکپ نوری مجهز به سیستم آنالیز تصویری و همچنین میکروسکپ الکترونی رویشی مجهز به سیستم آنالیز عنصری صورت پذیرفت.

برای تعیین خواص کششی آلیاژهای مورد تحقیق، نمونه های کشش استوانه ای با قطر ۹ mm، طول ۶۲ mm و طول سنجه ۵۰ mm بر اساس استاندارد ASTM E8M از قطعه ریختگی تهیه گردیدند. آزمون کشش با استفاده از دستگاه کشش تک محوری (بیونیورسال) MTS با لود سل ۱۵۰ kN تحت سرعت ۰/۱ mm/min و با بهره گیری از یک اکستنسیومتر به طول ۲۵mm انجام شد. در نهایت مقادیر استحکام کششی و درصد ازدیاد طول نمونه ها تعیین گشته و میانگین اعداد مربوط به ۶ نمونه به عنوان نتیجه نهایی ثبت گردید.

آزمایش سایش به روش پین روی دیسک با استفاده از تماس وفقی پین های آلومینیمی به ابعاد ۵mm×۵mm×۱۰ mm در مقابل دیسکی به قطر ۴۰ mm از HRC جنس فولاد بلبرینگ 52100 SAE با سختی متوسط ۶۰ N انجام شد. آزمایشهای سایش تحت نیروی اعمالی ۰/۸MPa تا ۸۰ N (تنش ظاهری ۰/۲MPa)، در سرعت ثابت ۰/۵m/s و مسافت لغزش ۱۰۰۰ متر در دمای محیط و رطوبت متوسط $40 \pm 2\%$ انجام گرفت.

جدول ۱. نتایج آنالیز تصویری

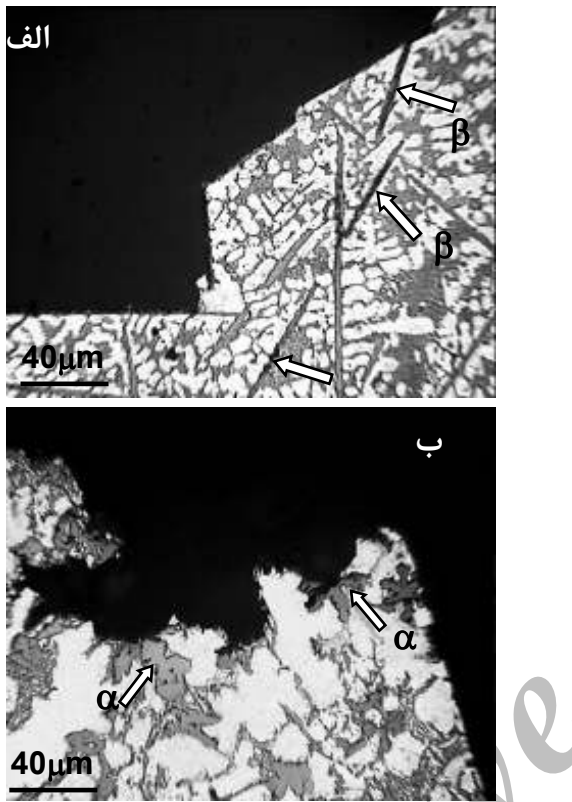
کد آلیاژ	کسر حجمی فاز بتا	طول متوسط صفحات بتا (μm)	\cdot/Fe	$1/2\text{Fe}$	$1/8\text{Fe}$
۲۶/۱۲±۱۲/۷۴	۵۹۷/±۳۷۰/۳۸	۸۷/۵۹±۴۱/۲۰	۵۹۷/±۳۷۰/۳۸	۸/۴۶±۰/۹۶	۵/۸۸±۰/۵۳
۲/۶۶±۰/۷۷					

شکل ۱. تاثیر افروختن آهن بر ریزساختار آلیاژ F332 (الف) آلیاژ پایه، (ب) آلیاژ $1/2\text{Fe}$ ، (پ) آلیاژ $1/8\text{Fe}$ و (ت) آلیاژ \cdot/Fe .

ذرات در حین بارگذاری بسیار بالا است. بررسی تصاویر میکروسکوپی تهیه شده از مناطق زیر سطح شکست نمونه کشش مربوط به آلیاژهای غنی از آهن در شکل ۳-الف این مطلب را می‌تواند نشان دهد. تحت این شرایط فاز بتا در نقش یک ترک زیر سطحی عمل نموده و موجب بروز تمرکز تنش و افت قابل ملاحظه خواص کششی می‌گردد. یکی دیگر از ویژگیهای منفی $\beta\text{-Al}_5\text{FeSi}$ فصل مشترک ضعیف این فاز با زمینه آلومنیمی است [۹]. با توجه به شکل ۳-الف فصل مشترک صفحات بتا با زمینه نیز می‌تواند به عنوان مسیر مناسبی جهت اشعاعه ترکها عمل نماید [۹].

تحقیق ($\sim 9/44\% \text{Si}$) بر روی آن مشخص گردیده است. همانگونه که در شکلهای ۱-پ و ۱-ت مشاهده می‌گردد چنانچه غلظت آهن در آلیاژ از حدود $1/2$ درصد تجاوز نماید، فرآیند انجماد آلیاژ با شکل گیری رسوبات درشت بتای اولیه آغاز می‌گردد. این در حالیست که در مقادیر کمتر آهن احتمال رسوب صفحات درشت بتای اولیه در ریزساختار کاهش می‌یابد (شکل ۱-ب). فاز بتا همانند سایر ترکیبات بین فلزی، فازی ترد و شکننده است. مورفولوژی صفحه‌ای و بالا بودن نسبت طول به عرض در ذرات بتا احتمال بروز تمرکز تنش شدید در فصل مشترک آن با زمینه را افزایش می‌دهد و بر این اساس احتمال خرد شدن

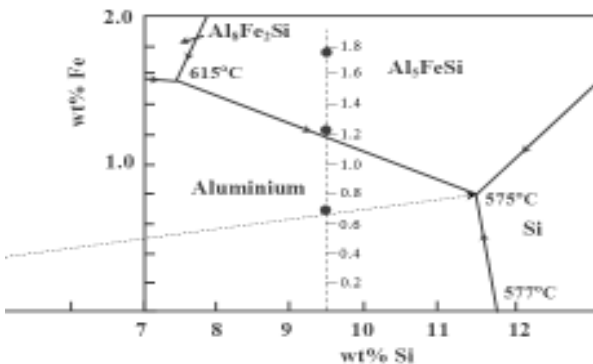
سختی آلیاژ F332 نیز در جدول ۳ ارایه گردیده است. برخلاف شرایط مشاهده شده در خواص کششی، طبیعت ترد



شکل ۳. تصویر میکروسکوپ نوری از مقطع شکست زیر سطح (الف) آلیاژ $1/8\text{Fe}$ (بهسازی نشده) و (ب) آلیاژ $1/8\text{FeMn}$ (بهسازی شده با منگنز).

و حساس به ترکهای درشت و صفحه‌ای شکل بتا تاثیر منفی بر سختی آلیاژ نداشته و با افزایش میزان آهن سختی آلیاژ تقریباً به صورت خطی افزایش می‌یابد. چنانچه به منظور تصحیح اثر منفی آهن، مقادیر مناسب از عنصر منگنز (با رعایت $(\text{Fe}/\text{Mn}) \approx 2$)، به مذاب افزوده شود، مطابق شکل ۴ رسوباتی جدید با مورفولوژی حروف چینی/ستاره‌ای شکل/چند ضلعی جایگزین رسوبات سوزنی شکل بتا می‌شوند.

بر اساس نتایج حاصل از آنالیز EDS، ترکیب شیمیایی متوسط رسوبات مذکور شامل $12/95$ درصد اتمی آهن، $9/48$ درصد اتمی سیلیسیم، $6/93$ درصد اتمی منگنز و $70/64$ درصد اتمی آلومینیم می‌باشد، لذا می‌توان گفت که این



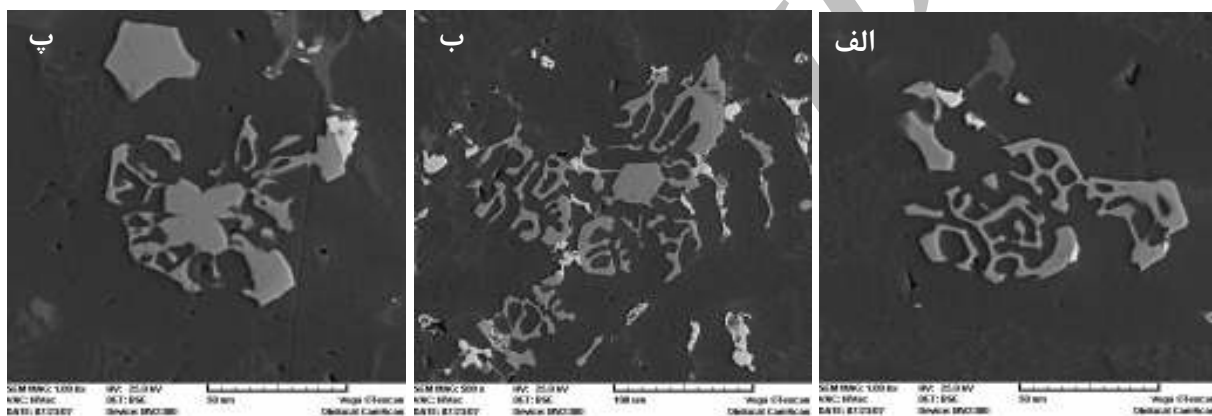
شکل ۲. گوش غنی از آلومینیم دیاگرام فازی Al-Fe-Si، موقعیت آلیاژهای مورد استفاده بر روی نمودار مشخص گردیده است [V].

ترکیبات سوزنی شکل β -Al₅FeSi، به دلیل افزایش تمایل آلیاژ به ایجاد ترکهای میکروسکوپی و افزایش مسیرهای مناسب برای اشعه ترکها، خواص کششی و بویژه انعطاف پذیری آلیاژ به میزان قابل توجهی افت نماید. علاوه بر این با توجه به شکل ۳ ب اشعه ترکهای نشانه گرفته از ذرات آلفا مستلزم عبور از فاز نرم آلومینیم آلفا است، لذا در مقایسه با شرایط عدم بهسازی اثرات منفی ناشی از حضور رسوبات آلفای اولیه در ریزساختار بر خواص مکانیکی به مراتب کمتر است.

تاثیر افزودن آهن بر خواص کششی آلیاژ F332 در جدول ۳ ارائه گردیده است. در صورت مقایسه این نتایج با نتایج حاصل از مطالعات ریزساختاری و آنالیز تصویری می‌توان دریافت که تاثیر ذرات بتا بر خواص مکانیکی به ابعاد و کسر حجمی آنها وابسته است. چنانچه ذرات بتا به صورت ریز و بین دندانه ای در زمینه رسوب نمایند (مانند آلیاژ $0/7\text{Fe}$) این ذرات می‌توانند به عنوان مانعی در برابر حرکت نابجاییها عمل نموده و با افزایش مراکز انباستگی نابجایی‌ها و سخت شدن لغزش، موجب افزایش استحکام آلیاژ شوند. اما با توجه به کسر حجمی کم ترکیبات بین فلزی در آلیاژ، سهم این رسوبات در اشعه ترکهای ایجاد شده کم بوده و رشد ترک بیشتر مستلزم عبور از فاز نرم زمینه و مناطق بین دندانه است، لذا آلیاژ انعطاف پذیری خوبی ارایه می‌نماید. با این حال در صورت شکل گیری صفحات درشت بتای اولیه در ریزساختار آلیاژهای $1/2\text{Fe}$ و $1/8\text{Fe}$ ، خواص کششی آنها به میزان قابل توجهی کاهش می‌یابد. تاثیر افزودن آهن بر

جدول ۳. نتایج خواص مکانیکی آلیاژهای مورد تحقیق

کد آلیاژ	استحکام کششی (MPa)	از دیداد طول (%)	سختی بریتل (kgf.mm ⁻²)
پایه	۱۷۱/۸±۱۲/۹۳	۱/۰۵±۰/۲۶	۱/۲۰±۷۶/۴۲
Fe _{0.7}	۱۸۳/۵۶±۲۳/۹۸	۱/۱۰±۰/۳۷	۰/۸۸±۷۹/۱۴
Fe _{1.2}	۱۴۸/۲۱±۲۲/۸۷	۰/۵۸±۰/۱۹	۱/۳۱±۸۱/۸
Fe _{1.8}	۶۱/۰۳±۱۰/۴۸	۰/۱۰±۰/۰۰	۴/۵۳±۸۶/۳۴
FeMn _{0.7}	۱۷/۷۳±۱۹۰/۱۶	۰/۲۸±۱/۰۷	۲/۰۱±۷۷/۳۳
FeMn _{1.2}	۲۱/۵±۱۸۴/۸۹	۰/۲۸±۱/۰۸	۱/۵۳±۸۰/۳
FeMn _{1.8}	۱۲/۷۲±۱۶۲/۱۵	۰/۱۴±۰/۷۳	۳/۴۰±۸۶/۰۲



شکل ۴. تصاویر میکروسکوپ الکترونی (SEM) از تاثیر غلظت آهن و منگنز بر مورفولوژی فاز آلفا، (الف) ذرات حروف چینی (آلیاژ FeMn_{0.7})، (ب) ذرات ستاره ای شکل و چند ضلعی (آلیاژ FeMn_{1.2})، (پ) ذرات حروف چینی/چند ضلعی (آلیاژ FeMn_{1.8}).

و منگنز در این آلیاژ، علاوه بر رسوبات حروف چینی مقداری از رسوبات آلفا با مورفولوژی ستاره ای یا چند ضلعی نیز در ساختار قابل رویت هستند (شکل ۴-ب). این رسوبات در واقع فازهای اولیه‌ای هستند که پیش از شکل‌گیری دندانه‌تهای آلومنیم آلفا رسوب می‌نمایند. با توجه به حضور صفحات بتای اولیه در ساختار آلیاژ $\frac{1}{2}\text{Fe}$ و نقش مخرب این ذرات بر روی استحکام و انعطاف پذیری آلیاژ انتظار می‌رود که در صورت شکل‌گیری فاز آلفا با مورفولوژی حروف چینی یا چند ضلعی، اثرات تردی و تمکر تنفس ناشی از حضور این ذرات در زمینه تا حد بسیار زیادی خشتم گشته و خواص کششی آلیاژ بهبود یابد. با توجه به نتایج خواص کششی (جدول ۳)، استحکام کششی و درصد از دیداد طول آلیاژ $\frac{1}{2}\text{FeMn}$ در مقایسه با آلیاژ $\frac{1}{2}\text{Fe}$ به ترتیب حدود ۲۵ و ۸۵ درصد افزایش یافته است. ترکیب شیمیایی آلیاژ $\frac{1}{2}\text{FeMn}$ به گونه‌ای است که ترکیبات غنی از آهن بیشتر

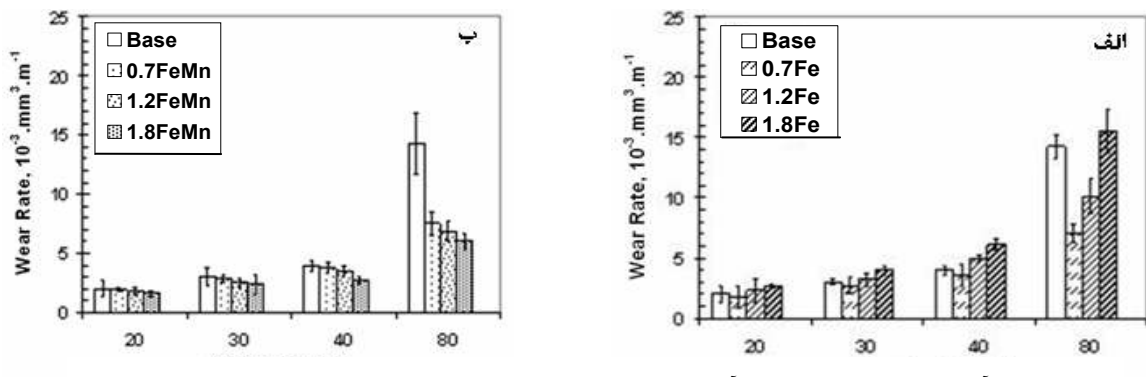
رسوبات، فاز آلفا با فرمول شیمیایی تقریبی $\text{Al}_{15}(\text{Fe},\text{Mn})_3\text{Si}_2$ بررسی شده است.

بررسی خواص کششی آلیاژ F332 در حضور مقادیر مختلف آهن در دو حالت بهسازی نشده و بهسازی شده توسط افزودن منگنز در جدول ۳ نشان می‌دهد که تغییر مورفولوژی فاز بتا و جایگزین نمودن آن توسط فازهای غنی از آهن دارای مورفولوژی مناسب تر (فاز آلفا)، به طور کلی موجب بهبود خواص کششی آلیاژ می‌گردد. با این حال نوع، مورفولوژی و مقدار فاز آلفا تاثیر بسزایی بر روی خواص نهایی دارد. مقایسه استحکام کششی و درصد از دیداد طول آلیاژ $\frac{1}{2}\text{FeMn}$ قبل و پس از بهسازی حاکی از آن است که تشکیل رسوبات حروف چینی در آلیاژ $\frac{1}{2}\text{FeMn}$ (شکل ۴-الف) موجب بهبود جزئی استحکام کششی و افت محسوس انعطاف پذیری شده است. رسوبات حروف چینی در ریزساختار آلیاژ $\frac{1}{2}\text{FeMn}$ نیز مشاهده می‌شوند اما با توجه به بالا بودن مجموع غلظت آهن

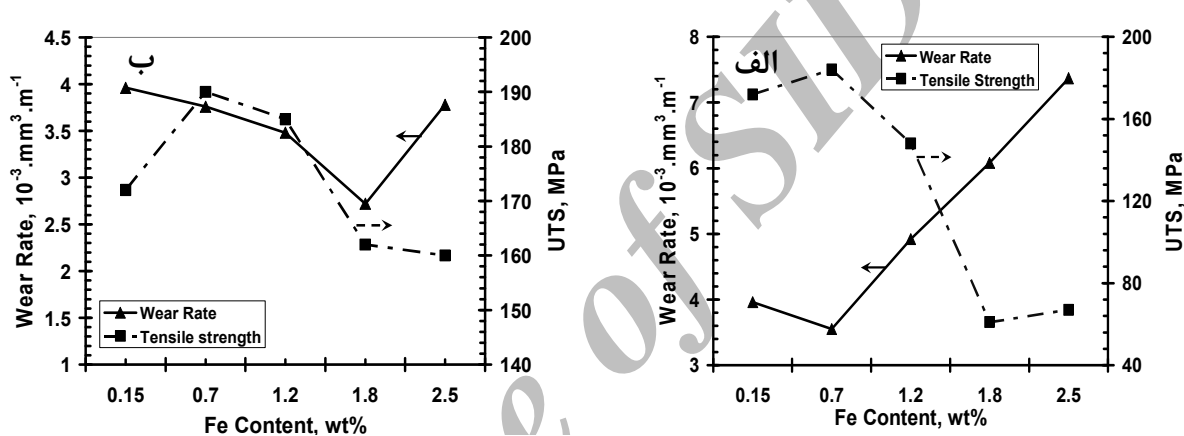
نمودار تغییرات نرخ سایش (تحت بار اعمالی N₄₀)، و استحکام کششی بر حسب درصد آهن آلیاژ در دو شرایط بهسازی نشده و بهسازی شده توسط منگنز در شکل ۶ ارایه شده است. همانگونه که در شکل ۶-الف مشاهده می‌شود در شرایط عدم بهسازی، با افزایش استحکام کششی، نرخ سایش آلیاژ کاهش یافته و در صورت افت خواص کششی، نرخ سایش افزایش می‌یابد. بنابراین به نظر می‌رسد که تحت این شرایط امکان برقراری یک ارتباط معنا دار بین خواص سایشی و خواص کششی وجود دارد. با این حال با توجه به شکل ۶-ب برای آلیاژهای بهسازی شده یک چنین ارتباطی مشاهده نمی‌گردد. در مورد این آلیاژها بهترین خواص مکانیکی مربوط به آلیاژ Mn/Fe_{1/2} است در حالیکه بهترین خواص سایشی در آلیاژ Mn/Fe_{1/8} مشاهده می‌گردد. بررسی نرخ سایش (شکل ۵) و سختی آلیاژ (جدول ۳) در دو شرایط بهسازی نشده و بهسازی شده توسط منگنز نیز مovid آن است که توجیه و تفسیر خواص سایشی با استفاده از خواص مکانیکی همواره امکان پذیر نمی‌باشد. بر اساس قانون آرچارد [۱۱]، نرخ سایش مواد با معکوس سختی ماده نرم‌تر متناسب است، لذا در صورت افزایش سختی آلیاژ، انتظار می‌رود که نرخ سایش آن کاهش یافته یا مقاومت سایشی آن افزایش یابد. با این حال با توجه به جدول ۳ صرف نظر از انجام یا عدم انجام بهسازی سختی آلیاژ با افزایش میزان آهن افزایش می‌یابد. این در حالیست که کمترین نرخ سایش در شرایط عدم بهسازی مربوط به آلیاژ Fe/V_{0.7} است که سختی آن حدود ۲/۵ درصد کمتر از سختی آلیاژ Mn/Fe_{1/8} و حدود ۸/۳ درصد کمتر از سختی آلیاژ Mn/Fe_{1/2} می‌باشد، لذا افزایش سختی یک ماده همواره متراff با بهبود مقاومت سایشی آن نبوده و چنانچه افزایش سختی ماده همراه با افت انعطاف پذیری آن باشد (جدول ۳)، می‌تواند موجب تضعیف خواص سایشی آن شود. با این حال با توجه به تغییر مورفلوژی فاز بتا در آلیاژهای بهسازی شده و در پی آن افزایش انعطاف پذیری زمینه نسبت به آلیاژ بهسازی نشده، بهترین خواص سایشی در این آلیاژها مربوط به آلیاژ Mn/Fe_{1/8} است که سختی بالایی دارد.

به صورت فازهای اولیه با مورفلوژی چند ضلعی و/یا ستاره‌ای شکل در زمینه رسوب می‌نمایند (شکل ۴-پ). بنابراین در ازای کاهش میزان رسوبات حروف چینی، کسر حجمی فازهای اولیه (رسوبات ستاره‌ای شکل و چند ضلعی) در آلیاژ به تدریج افزایش می‌یابد. فصل مشترک این فازهای اولیه از نوع پخ دار بوده و در مقایسه با رسوبات حروف چینی پیوندشان با زمینه ضعیفتر است [۸، ۱۰]، لذا انتظار می‌رود که حضورشان موجب افت خواص کششی آلیاژ گردد. با این حال همانگونه که قبل نیز عنوان گردید مورفلوژی و نسبت طول به عرض ذرات آلفا به گونه‌ای است که میزان تمرکز تنش ناشی از حضور آنها در زمینه بسیار کمتر از میزان تمرکز تنش در ساختارهای حاوی رسوبات سوزنی شکل است. علاوه بر این با توجه به شکل ۳-ب اشعه ترکهای نشات گرفته از ذرات آلفا مستلزم عبور از فاز نرم آلمینیم آلفا است، لذا در مقایسه با شرایط عدم بهسازی اثرات منفی ناشی از حضور رسوبات آلفای اولیه در ریزساختار بر خواص مکانیکی به مراتب کمتر است. بر این اساس با توجه به جدول ۳ استحکام کششی و درصد ازدیاد طول آلیاژ Mn/Fe_{1/8} به ترتیب حدود ۱۶۵ و ۶۳۰ درصد بیش از استحکام کششی و درصد ازدیاد طول آلیاژ Mn/Fe_{1/8} است.

بررسی تاثیر ترکیبات غنی از آهن بر خواص سایشی نمودار تغییرات نرخ سایش آلیاژهای مختلف بر حسب بار اعمالی در شکل ۵ نشان داده شده است. در شرایط عدم بهسازی، افزودن ۷/۰ درصد آهن به ترکیب آلیاژ موجب بهبود مقاومت به سایش می‌گردد بنحویکه نرخ سایش آلیاژ Mn/Fe_{1/8} تحت تحریق چهار بار ۲۰، ۳۰، ۴۰ و ۸۰ N₄₀ به ترتیب حدود ۱۲/۵، ۱۰، ۷/۵ و ۵/۰ درصد کمتر از نرخ سایش آلیاژ پایه (حاوی ۱۵٪ آهن) است. اما در صورت افزودن مقادیر بیشتر آهن و شکل‌گیری رسوبات درشت بتای اولیه در زمینه (شکل ۱)، مقاومت سایشی آلیاژ افت می‌نماید. نرخ سایش آلیاژ Mn/Fe_{1/8} تحت بارهای مورد بررسی یعنی ۲۰، ۳۰، ۴۰ و ۸۰ N₄₀ به ترتیب حدود ۴۸، ۴۲، ۵۴ و ۱۲۸ درصد بیش از نرخ سایش آلیاژ Mn/Fe_{1/8} می‌باشد.



شکل ۵. تاثیر آهن و بار اعمالی بر نرخ سایش آلیاژ ۳۳۲ (الف) شرایط بهسازی نشده، (ب) شرایط بهسازی شده توسط منگنز.



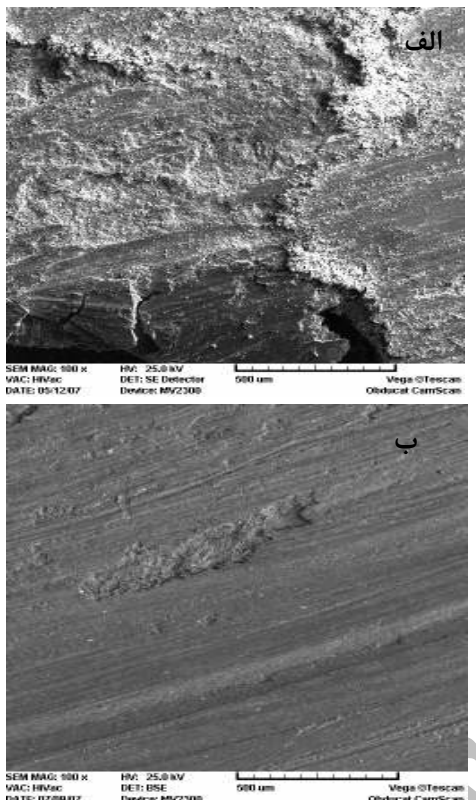
شکل ۶. نمودار تغییرات نرخ سایش و استحکام کششی آلیاژ بر حسب درصد آهن در دو شرایط (الف) بهسازی نشده و (ب) بهسازی شده توسط منگنز تحت بار اعمالی ۴۰ آپیون.

پین و دیسک جلوگیری می‌شود. علاوه بر این چنانچه استحکام برشی لایه مذکور کم باشد حضور آن موجب کاهش ضریب اصطکاک بین نمونه و جسم مقابل می‌گردد [۱۱]. بنابراین چنانچه نرخ تشکیل لایه تربیولوژیکی از نرخ برداشت آن بیشتر باشد لایه محافظ پایدار مانده و در نقش یک لایه محافظ می‌تواند موجب کنترل نرخ سایش آلیاژ می‌گردد. از سوی دیگر هر عاملی که موجب تضعیف لایه و افزایش نرخ برداشت آن گردد نرخ سایش آلیاژ را افزایش می‌دهد.

تصویر میکروسکوپی از نواحی زیر سطح سایش دو آلیاژ $1/8\text{Fe}$ و $1/8\text{FeMn}$ پس از سایش تحت بار 40N در شکل ۷ نشان داده شده است. همانگونه که مشاهده می‌گردد صفحات ترد بتا در شکل ۷-الف، در اثر کرنشهای شدید زیر سطحی در راستای لغزش خمیده شده و خرد گشته اند. پس از خرد شدن صفحات بتا، این ذرات نقش استحکام دهنده خود را از دست داده و سیلان پلاستیک لایه‌های سطحی تسهیل می‌گردد.

در اثر تماس لغزشی بین دو جسم و ایجاد تنشهای زیر سطحی، ترکهای میکروسکوپی از نقاط مستعد که بیشتر ذرات سیلیسیم خرد شده یا فصل مشترک ذرات سیلیسیم با زمینه و یا در ذرات ترد غنی از آهن می‌باشند جوانه زده و با اشعه آتش به سطح، ماده به صورت ذرات ورقه‌ای شکل از سطح جدا می‌شود. با این حال مورفولوژی و میزان ذرات ناشی از سایش به عوامل مختلفی اعم از بار اعمالی، سرعت و درجه حرارت و بستگی دارد. در بارهای کم ذرات ناشی از سایش بیشتر ریز و هم محور بوده و معمولاً به صورت ترکیبی از ذرات مختلف اعم از ذرات آلمینیم و آهن، ذرات سیلیسیم و اکسیدها هستند [۱۲]. این ذرات طی لغزش به تدریج با یکدیگر مخلوط گشته و به صورت یک لایه نسبتاً فشرده موسوم به لایه تربیولوژیکی بر روی سطح آلیاژ قرار می‌گیرند. در حضور این لایه تماس مستقیم بین زمینه آلمینیمی و دیسک فولادی محدود گشته و از بروز سایش چسبنده بین

طول به عرض ذرات آلفا به گونه ای است که در یک شرایط یکسان، میزان تمرکز تنش بر روی این ذرات به مراتب کمتر است [۱۳].



شکل ۸ تصاویر میکروسکپ الکترونی (SEM) از سطح سایش دو آلیاژ $1/8\text{FeMn}$ و $1/8\text{Fe}$ پس از سایش تحت بار 40N در دو شرایط (الف) بهسازی نشده و (ب) بهسازی شده توسط منگنز.

حاوی فاز آلفا، تغییر شکل و خردایش ذرات موجود در لایه های سطحی کاهش می یابد (شکل ۷ الف و ب). تحت این شرایط پایداری لایه تربیولوژیکی بر روی سطح افزایش یافته و نرخ برداشت آن کاهش می یابد. مورفولوژی سطح سایش آلیاژ $1/8\text{FeMn}$ پس از سایش تحت بار اعمالی 40N ارایه شده در شکل ۸-ب نشان دهنده سایش نرم تر این نمونه است.

نتیجه گیری

۱- نتایج نشان می دهند افزودن حدود 7% درصد آهن به آلیاژ F332 باعث بهبود خواص مکانیکی و سایشی آلیاژ می شود. این در حالیست که افزودن مقادیر بیشتر آهن به آلیاژ پایه باعث تشکیل رسوبات غنی از آهن بزرگتر و با کسر



شکل ۷. تصاویر میکروسکپ الکترونی (SEM) از نواحی زیر سطح سایش دو آلیاژ $1/8\text{FeMn}$ و $1/8\text{Fe}$ پس از سایش تحت بار 40N در دو شرایط (الف) بهسازی نشده و (ب) بهسازی شده توسط منگنز.

تحت این شرایط توانایی زیر لایه در حفظ و نگهداری لایه تربیولوژیکی کاهش یافته و انتظار می رود که نرخ برداشت لایه افزایش یابد. بررسی تصویر میکروسکوپی سطح سایش آلیاژ $1/8\text{Fe}$ پس از سایش تحت بار 40N در شکل ۷-الف نیز موید ناپایداری شدید لایه تربیولوژیکی و برداشت آن از روی سطح است. علاوه بر این خرده های ناشی از شکست صفحات بتا نیز به تدریج و در اثر سایش و/ یا سیلان پلاستیک لایه های سطحی به سطح پین نزدیک گشته و به لایه تربیولوژیکی می پیونددن. در شکل ۷-الف می توان مشاهده نمود خرده های مذکور به صورت ذراتی مجزا در لایه تربیولوژیکی ظاهر گشته که می توانند موجب افت انسجام ساختاری آن شوند بنحوی که اشعه ترک در لایه تربیولوژیکی عمده از فصل مشترک ذرات بتا خرد شده ایجاد می گردد. در مقایسه با فازهای صفحه ای شکل بتا، مورفولوژی و نسبت

منابع

1. F. Wang, Z. Zhang, Y. Ma and Y. Jin, *Effect of Fe and Mn additions on microstructure and wear properties of spray-deposited Al-20Si alloy*, Materials Letters, 58(2004)2442-2446.
2. L. F. Mondolfo, *Aluminium alloy: Structure and Properties*, Butterworths, London-Boston, first publish, (1976)534-774.
3. P. N. Crepeau, *Effect of iron in Al-Si casting alloys: a critical review*, AFS Transaction, 103(1995)361-366.
4. T. O. Mbuya, B. O. Odera and S. P. Nganga, *Influence of iron on castability and properties of aluminium silica alloys: literature review*, International Journal of Cast Metals Research, 16(2003)1-15.
5. S. Gowri and F. H. Samuel, *Effect of alloying elements on the solidification characteristics and microstructure of Al-Si-Cu-Fe 380 alloy*, Metallurgical Materials Transaction A, 25(1994)2,437-448.
6. F. H. Samuel, P. Ouellet, A. M. Samuel and H. W. Doty, *Effect of Mg and Sr addition on the formation of intermetallics in Al-6Si3.5Cu-0.45Mg-0.85Fe 319 type alloy*, Metallurgical and Materials Transaction A, 29(1998)2871-2884.
7. J. A. Taylor, *The effect of iron in Al-Si casting alloys*, Casting Concepts: 35th Australian Foundry Institute National Conference, (2004).
8. M. H. Mulazimoglu, A. Zaluska, J. E. Gruzleski and F. Paray, *Electron microscope study of Al-Fe-Si intermetallics in 6201 aluminum alloy*, Metallurgical and Materials Transactions, 27(1996)929-936.
9. O. Vorren, J. E. Evensen and T. B. Pedersen, *Microstructure and mechanical properties of Al-Si (Mg) casting alloys*, AFS Transactions, 92(1984)459-466.
10. X. Cao and J. Campbell, *Effect of precipitation of primary intermetallic compounds on tensile properties of cast Al-11.5Si-0.4Mg alloy*, AFS Transactions, 61(2000)391-399.

حجمی بیشتر در نمونه شده که باعث کاهش خواص مکانیکی و مقاومت به سایش آلیاژ می شود.

۲- انجام بهسازی شیمیایی آلیاژ از طریق افزودن منگنز به ترکیب نمونهها باعث تغییر مورفولوژی فازهای ترد و شکننده غنی از آهن، از حالت سوزنی شکل به مورفولوژی‌های فشرده تر مانند حروف چینی و/یا ستاره‌ای می شود. این می‌تواند باعث بهبود استحکام کششی آلیاژ و درصد ازدیاد طول آنها و همچنین افزایش مقاومت به سایش آلیاژ‌های حاوی مقادیر بالاتر آهن تا حدود ۱/۸ درصد آهن گردد.

۳- هر چند با افزودن منگنز به آلیاژ خواص مکانیکی و سایشی نمونه‌ها بهبود یافته است، اما همواره ارتباط مشخصی بین خواص مکانیکی و سایشی نمونه‌ها وجود ندارد.

تشکر و قدردانی

نویسنده‌گان از صندوق حمایت از پژوهشگران کشور ریاست جمهوری به دلیل تامین بخشی از بودجه این تحقیق قدردانی می‌نمایند.

11. I. M. Hutchings, *Tribology: Friction and wear of engineering materials*, Edward Arnold, Cambridge, London, (1992).
12. C. Y. Yang, S. L. Lee, G. K. Lee and J. G. Lin, *Effect of Sr and Sb modifiers on the sliding behaviour of A357 alloy under varying pressure and speed conditions*, Wear, 261(2006)1348-1358.
13. N. A. Belov and A. A. Aksenov, *Iron in alloys; impurity and alloying elements*, Taylor and Francis, New York, U.S.A , (2002).